

考虑到 n 不为 I 的整数倍时 $x'_I(n)=0$, 则 $x'_I(n)$ 的 z 变换为

$$\begin{aligned} X'_I(z) &= \sum_{n=-\infty}^{\infty} x'_I(n) z^{-n} = \sum_{n=I \text{ 的整数倍}} x'_I(n) z^{-n} \\ &= \sum_{n=I \text{ 的整数倍}} x(n/I) z^{-n} = \sum_{m=-\infty}^{\infty} x(m) z^{-mI} \\ &= X(z^I) \end{aligned} \quad (9.3.3)$$

代入 $z=e^{j\omega'}$, 即可得 $x'_I(n)$ 的频谱 $X'_I(e^{j\omega'})$, 即

$$X'_I(e^{j\omega'}) = X(e^{j\omega'I}) = X(e^{j\omega}), \quad \omega' = \Omega T' = \Omega T/I = \Omega/(If_s) = \omega/I \quad (9.3.4)$$

图 9.7 画出了插值($I=3$)全过程中的各信号及其频谱。从图 9.7(b)的 $|X'_I(e^{j\omega'})|$ 看出, 它不仅包含基带频谱, 即在 $|\omega'| \leq \pi/I$ 之内的有用频谱, 而且在 $|\omega'| \leq \pi$ 的范围内还有基带信号的镜像, 它们的中心频率在 $\pm 2\pi/I, \pm 4\pi/I \dots$ 处。在此例中, 在 $|\omega'| \leq \pi$ 内只有 $\pm \frac{2\pi}{3}$ 有镜像。

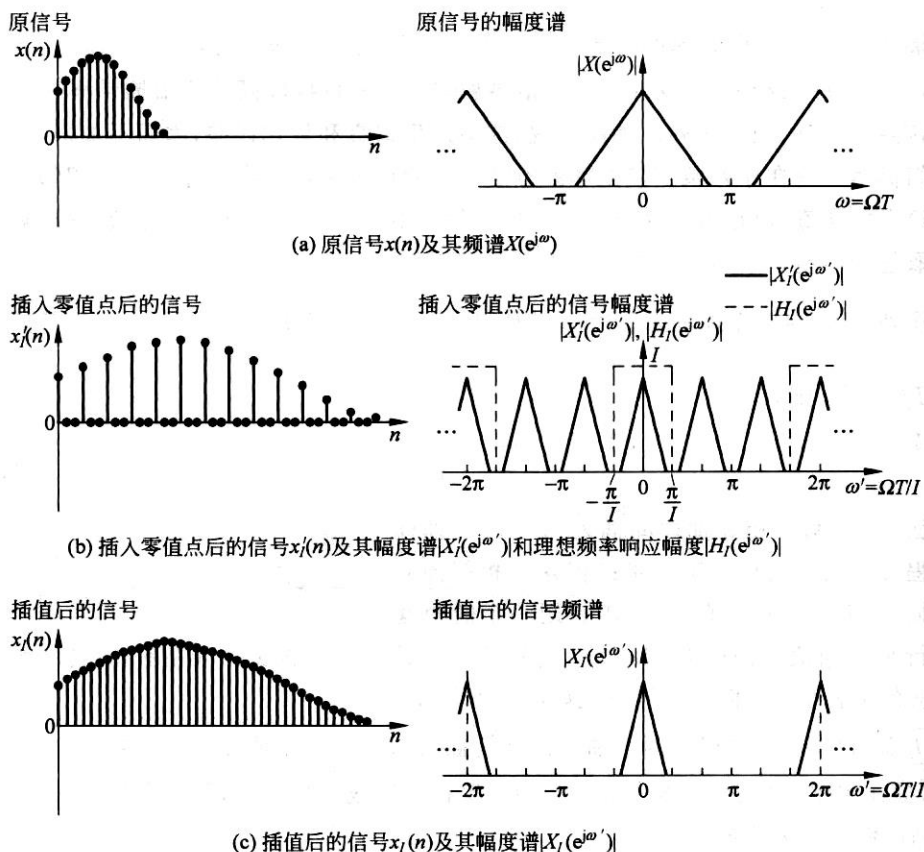


图 9.7 插值过程($I=3$)

2. 滤除镜像分量的滤波器

即图 9.7(b)中的 $H_I(e^{j\omega})$ 。为了滤除上述镜像分量, 要加一个冲激响应为 $h(n)$ 的数字低通滤波器, 以便消除这些不需要的镜像部分; 从时域上看, 则是平滑作用, 对两个连贯的

样值之间的 $(I-1)$ 个零值点进行插值,得到插值后的输出值。图 9.7(b)中的虚线所示为 $H_I(e^{j\omega'})$,它是实际 $h(n)$ 要逼近的理想低通频率特性,可表示为

$$H_I(e^{j\omega'}) = \begin{cases} I, & |\omega'| \leq \frac{\Omega_s T'}{2} = \frac{\pi}{I} \\ 0, & \text{其他 } \omega' \end{cases} \quad (9.3.5)$$

以下来证明,为了得到 $x_I(n)$ 的正确幅值,滤波器增益应为上式中的 I 。为此,我们先假定它的幅值为 R ,求 $n=0$ 时刻的输出 $x_I(0)$,考虑到 $X_I(e^{j\omega'}) = X'_I(e^{j\omega'}) H_I(e^{j\omega'})$ (参见图 9.6),有

$$x_I(0) = \frac{1}{2\pi} \int_{-\pi}^{\pi} X_I(e^{j\omega'}) e^{j\omega' \cdot 0} d\omega = \frac{1}{2\pi} \int_{-\pi}^{\pi} X'_I(e^{j\omega'}) H_I(e^{j\omega'}) d\omega'$$

代入(9.3.4)式,且考虑到已假定 $H_I(e^{j\omega'}) = R$,当 $|\omega'| \leq \frac{\pi}{I}$ 时,则有

$$\begin{aligned} x_I(0) &= \frac{R}{2\pi} \int_{-\pi/I}^{\pi/I} X(e^{j\omega' I}) d\omega' = \frac{R}{2\pi I} \int_{-\pi}^{\pi} X(e^{j\omega'}) d\omega' \\ &= \frac{R}{2\pi I} [2\pi x(0)] = \frac{R}{I} x(0) \end{aligned} \quad (9.3.6)$$

如果要求 $x_I(0) = x(0)$,则必须有 $R = I$,从而证明了(9.3.5)式中 I 数值的正确性。

实际上,由于滤波器滤除掉镜像分量后,在 $0 \leq \omega' \leq \pi$ 范围内只保留 I 个样本中的一个样本,而将 $(I-1)$ 个镜像分量滤除掉了,使信号平均能量减少成原来的 $1/I^2$ 倍,因而内插滤波器的增益必须是 I ,以补偿这一能量的损失。

3. 插值器系统

整个图 9.6 的系统称为插值器系统,或称插值器。

如果用来逼近 $H_I(e^{j\omega'})$ 的实际的 $h(n)$ 的频率特性为 $H(e^{j\omega'})$,则插值器系统的输出 $x_I(n)$ 可表示为

$$x_I(n) = \sum_{i=-\infty}^{\infty} h(n-i) x'_I(i) = \sum_{i=-\infty}^{\infty} h(n-i) x(i/I) \quad (9.3.7)$$

此式中,当 i/I 不为整数时, $x(i/I) = 0$,则可将此式写为

$$x_I(n) = \sum_{k=-\infty}^{\infty} h(n-kI) x(k) \quad (9.3.8)$$

(9.3.8)式还可表示成另一种形式,为此引入变量代换

$$k = \left\lfloor \frac{n}{I} \right\rfloor - m \quad (9.3.9)$$

式中 $\left\lfloor \frac{n}{I} \right\rfloor$ 表示小于或等于 $\frac{n}{I}$ 的整数。此外,考虑到以下的模运算关系式(模运算在 3.3.1 节中已经讨论过):

$$((n))_I = n - \left\lfloor \frac{n}{I} \right\rfloor I \quad (9.3.10)$$

$((n))_I$ 表示对 I 取模运算。将(9.3.9)式代入(9.3.8)式,并考虑到(9.3.10)式,则有

$$\begin{aligned} x_I(n) &= \sum_{m=-\infty}^{\infty} h\left(n - \left\lfloor \frac{n}{I} \right\rfloor I + mI\right) x\left(\left\lfloor \frac{n}{I} \right\rfloor - m\right) \\ &= \sum_{m=-\infty}^{\infty} h(mI + ((n))_I) x\left(\left\lfloor \frac{n}{I} \right\rfloor - m\right) \end{aligned} \quad (9.3.11)$$